



CIRCUITO CARREGADOR DE ENERGIA SOLAR

Prática de Circuitos Eletrônicos 2 - 119458
Turma B

| Nome: | Matrícula: | Local: | Data: |
|------------------------------|------------|----------|------------|
| Ítalo Rodrigo Moreira Borges | 15/0012446 | Gama -DF | 07/07/2017 |
| Leonardo Amorim de Araújo | 15/0039921 | Gama -DF | 07/07/2017 |

Sumário

| | |
|--|-----------|
| 1. Introdução | 3 |
| 2. Objetivos | 3 |
| 3. Parte Pré-Experimental | 3 |
| 3.1. Esquemático do Circuito do Carregador de Baterias | 3 |
| 3.2. Esquemático do circuito que alimenta o microcontrolador, sensores e servomotores | 5 |
| 3.3.1. Light Dependent Resistor - LDR | 6 |
| 3.3.2. Servomotor | 7 |
| 3.3.3. Microcontrolador MSP430 modelo g2553 | 8 |
| 3.3.4. Código Utilizado | 9 |
| 4. Parte Experimental | 11 |
| 4.1. Materiais Utilizados | 11 |
| 4.2. Resultados | 11 |
| 4.2.1. Teste em um celular | 14 |
| 5. Discussão | 15 |
| 5.1. Pontos positivos | 15 |
| 5.2. Pontos negativos | 15 |
| 5.3. Custo do projeto | 15 |
| 5.2. Observações | 16 |
| 6. Conclusão | 16 |
| 7. Referências Bibliográficas | 17 |
| 8. Anexos | 18 |
| A. Códigos | 18 |

1. Introdução

A sustentabilidade atualmente é um dos grandes objetivos da humanidade, buscar novas formas de obter energia mais limpa é uma tendência para ter um futuro sem muitos transtornos, e a energia eólica e a energia solar estão em alta como uma das principais energias para substituir as não renováveis. Visando a necessidade futura, construiu-se um circuito que carrega baterias na faixa de 1 volt até 6.8 volts. O resultado final com vídeo pode ser visto na referência [8].

2. Objetivos

Construção de um carregador de bateria utilizando luz solar com faixa de tensão ajustável. Este tem a possibilidade de girar a base da placa solar conforme a luz do sol varia durante o dia.

3. Parte Pré-Experimental

3.1. Esquemático do Circuito do Carregador de Baterias

Na figura 1 é mostrado o esquemático do circuito utilizado para realizar a carga de baterias. O circuito é utilizado para carregar baterias de chumbo ácido ou de níquel-cádmio e é projetado para carregar baterias de 6V e até 4.5 Ah para diversas aplicações. Este ainda possui regulagem de tensão e corrente e atua desacoplando a bateria quando esta está completamente carregada para que não enxergue o circuito carregado como uma carga.

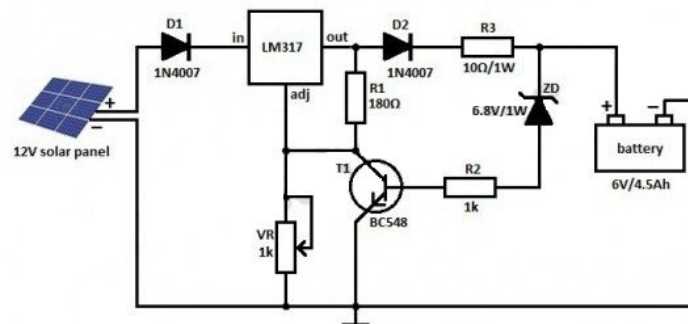


Figura 1 - Esquemático do circuito que realiza a carga das baterias. Fonte [1]

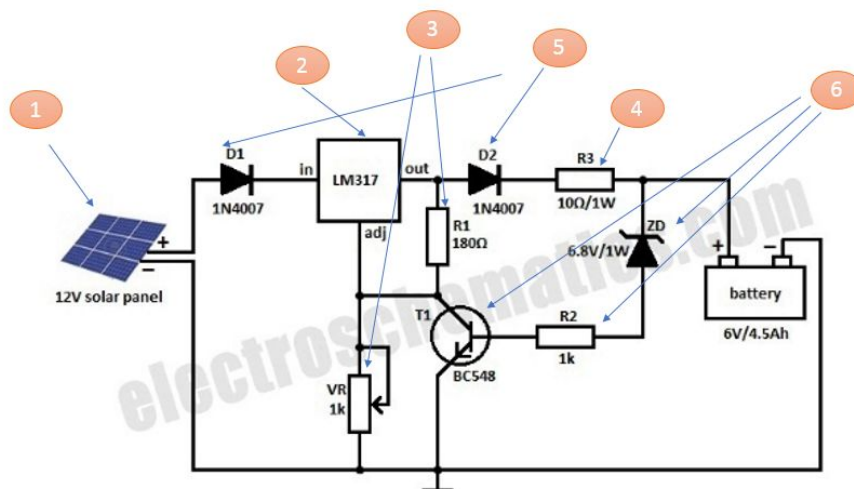


Figura 2 - Análise da função de cada componente no circuito

Na figura 2, o componente indicado com 1 é placa solar utilizada para fornecer energia ao circuito. O componente 2 é o CI LM317, um regulador de tensão variável. Conforme a referência [6], o LM317 é capaz de fornecer até 1.5 A de corrente, com uma faixa de trabalho para tensão de entrada entre 1.5 V até 37 V. Sua vista de frente pode ser visualizada na figura 3.



Figura 3 - Arranjo de pinos do CI LM317

O circuito interno do LM317 pode ser visto na figura 4. Pode-se visualizar que este possui um amplificador interno, um diodo zener que é acionado com 1.25 V, dois TBJs NPN atuando como par Darlington e um circuito de proteção contra alta temperatura e altas correntes (o fabricante não deixa claro qual é este circuito na referência [6]).

Os resistores R1 e VR em 3 realizam o ajuste de tensão no circuito. A fórmula básica do ajuste é dada por

$$V_{out} = 1.25V (1 + (R2/R1)) + (I_{adj} \times R2)$$

(1)

onde I_{adj} é a corrente que retorna do pino de ajuste de tensão.

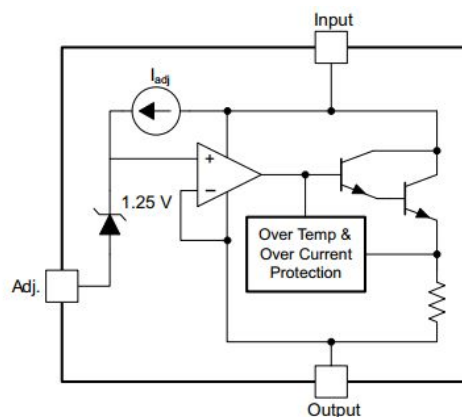


Figura 4 - Bloco Funcional do LM317 mostrando seus componentes internos

O diodo em **5** tem a função de previne a descarga de corrente da bateria para o circuito. Logo, quando a tensão da bateria atinge seu máximo, ainda que esta tenha uma tensão maior que a tensão do carregador, a bateria é desacoplada do circuito por este diodo.

Os componentes em **6** atuam quando a bateria está carregada. Como o diodo D2 impede que a bateria enxergue o circuito como carga, este faz com que o diodo zener de $V_z = 6.8 \text{ V}$ conduza e acione a base do transistor. Como a base é acionada, o carregador de bateria é habilitado para transmitir uma corrente pelo coletor, sendo o resistor de 180Ω o resistor R_c , ou resistor de carga do coletor.

Quando o carregador está atuando para carregar uma bateria, os componentes em **6** não atuam, devido a não polarização reversa do diodo zener.

3.2. Esquemático do circuito que alimenta o microcontrolador, sensores e servomotores

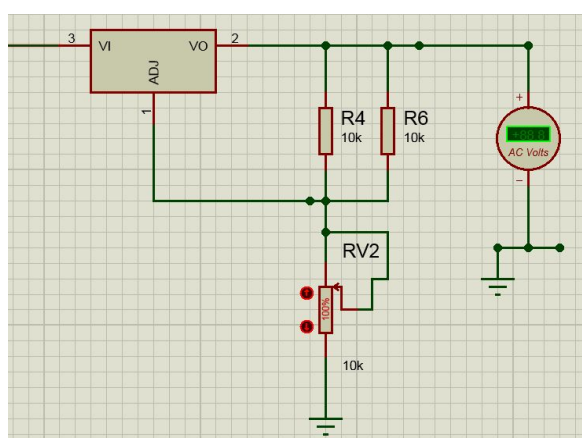


Figura 5 - Circuito para realizar a alimentação do microcontrolador e seus módulos

O circuito na figura 5 tem a mesma lógica do circuito da figura 2, mas este só deve realizar regulação de tensão. A faixa de trabalho devido a fórmula (1) é de 1.25 V até $1.25 \times (1 + 10k/5k) = 3.75 \text{ V}$. Somando-se a corrente de ajuste, teremos então uma tensão máxima na

saída V_o de 4,25 V. O microcontrolador utilizado neste circuito opera com tensão de 3 V, logo a regulação realizada por este circuito se enquadra perfeitamente na faixa de operação deste. A tensão de entrada é a tensão fornecida pela placa solar de 12V.

3.3. Esquemático do circuito que controla o painel solar

Na figura 6 encontra-se o esquemático utilizado para controle da base da placa solar. O objetivo é que conforme a Terra movimenta-se durante o dia, a placa solar possa estar posicionada de forma que favoreça o melhor posicionamento para absorção da luz solar.

3.3.1. Light Dependent Resistor - LDR

Os LDRs utilizados no circuito são os sensores para verificação do estado atual da luz incidindo sobre a placa. O LDR é um resistor cuja resistência varia conforme a intensidade de luz. Especificamente, se a intensidade de luz aumenta, sua resistência diminui. O LDR é constituído de um material semicondutor com elevada resistência elétrica. A figura 7 mostra o componente.

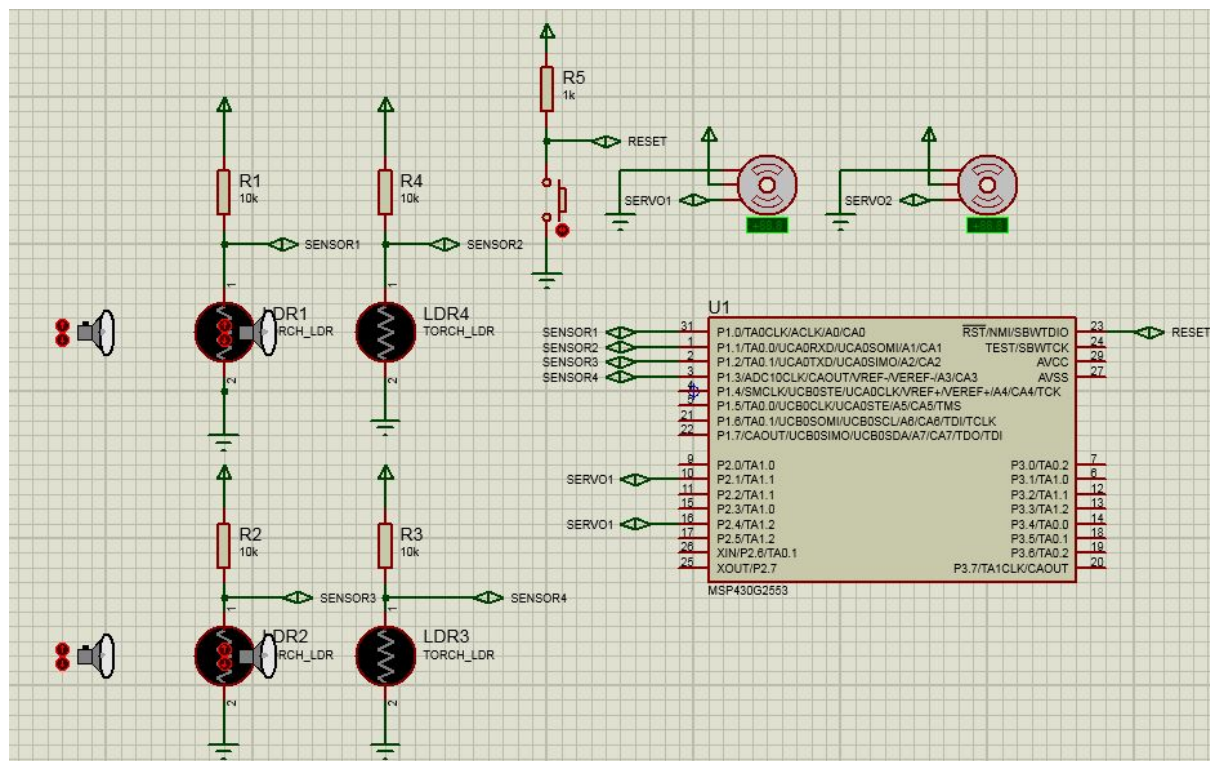


Figura 6 - Esquemático mostrando o MCU MSP430g2553 e os servos motores, assim como os LDRs e os resistores limitadores de corrente. O push button utilizado é devido ao pino RST da MSP430, que deve permanecer em nível alto para funcionamento normal e em nível baixo por um instante de tempo para reiniciar o microcontrolador.



Figura 7 - Típico LDR

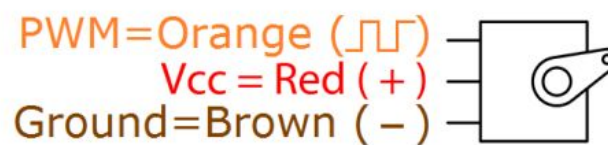
Devido ao divisor de tensão formado pelos resistor de $10k\Omega$ e o LDR, que fica variando muito conforme a incidência de luz, nas portas P1.0 até a P1.3 do microcontrolador foi habilitado o uso do conversor A/D interno ao MSP. O conversor A/D é chamado de ADC10 e implementa uma conversão de 10 bits. Portanto, têm-se 1024 valores de tensão possíveis, variando de 0 V até 3 V com um degrau de $3/1024 \approx 3 \text{ mV}$ de tensão para cada dígito digital.

3.3.2. Servomotor

Um servomotor é um tipo de máquina eletromecânica que pode ser controlada por comandos elétricos. O servomotor, diferente dos motores elétricos convencionais, possui somente a liberdade de girar o eixo 180° (em alguns modelos 360°), tendo uma grande precisão quanto à angulação. O servomotor possui três componentes básicos em seu interior:

- O sistema atuador que possui o motor elétrico, a maioria um motor elétrico de corrente contínua, como o utilizado neste projeto;
- Um sensor que em grande parte dos servos comercializados é um potenciômetro que é acoplado ao eixo do motor que indica a posição angular atual do servo;
- Um circuito eletrônico que recebe o sinal do sensor (vindo do eixo) e um sinal externo de controle que serve para acionar o motor para a posição desejada.

O modelo de servomotor utilizado neste projeto é o SG90, que possui um torque de 1.8 kgf.cm, velocidade de operação de $0.1s/60^\circ$, tensão de operação de 3~5 V. A figura 8 mostra como é o funcionamento deste componente.



(a)

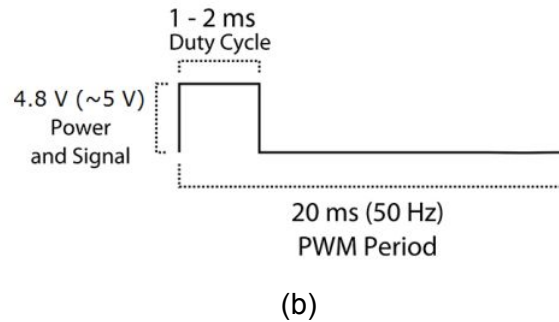


Figura 8 - (a) Forma de ligação dos pinos do servomotor (b) Modo de Operação do Servomotor e forma de controle do eixo utilizando PWM, conforme a referência [9].

Pode-se visualizar na figura 8 que o servomotor tem 3 pinos, sendo que um deles é o chamado PWM - Pulse Width Modulation, que em tradução livre, significa Modulação por Largura de Pulso. No datasheet, conforme a referência [9], indica que a forma de onda deve ter frequência de 50 Hz, se repetindo portanto a cada 20 ms. O ciclo de trabalho (Duty Cycle) na Figura 8(b) indica quanto tempo a forma de onda deve permanecer no estado '1', ou 'nível lógico alto'. Esse período em que a forma de onda permanece em nível lógico alto é que irá definir qual será a angulação do servomotor. Para o caso do SG90, tem-se que 0 ms equivale a -90° e 2 ms equivale a 90° , supondo que a forma de onda começa em $t = 0$. A figura 9 mostra o modelo de servomotor utilizado.



Figura 9 - Modelo de SG90 Utilizado

3.3.3. Microcontrolador MSP430 modelo g2553

O microcontrolador MSP430 vem de uma família de microcontroladores RISC de 16 bits voltados para aplicações de baixo a baixíssimo consumo, fabricado pela Texas Instruments. O MSP430 modelo g2553 possui:

- Frequência de Operação de até 16 Mhz;
- Memória RAM de 500 KB;
- Pinos de GPIO: 24 (depende do modelo);
- Analog to Digital Converter 10 bits - ADC10: Possui 8 canais;
- 2 Timers com modo de comparação e captura;
- Tensão Máxima de Operação: 3.6 V.

Este microcontrolador foi escolhido para o projeto de propósito, pois para projetos envolvendo trabalhos com energia solar, consumo de energia é fator crítico. Para se ter uma ideia, no modo de baixo consumo máximo, o MSP consome em torno de 0.1 μ A. Logo isso o torna o melhor microcontrolador existe hoje no mercado para aplicações de baixo consumo.

3.3.4. Código Utilizado

No Apêndice A encontra-se o código utilizado para o controle de posição dos eixos da base da placa solar. A linguagem utilizada é C. Iremos realizar aqui somente uma explicação geral do objetivo de cada função utilizada no código. Mais detalhes sobre o microcontrolador MSP430 e seus modos de operação podem ser consultados na referência [10].

- **Setup_ADC:** Realiza a configuração inicial dos pinos P1.0 até P1.3 para serem utilizados como canais do conversor A/D. São nestes pinos que os sensores são conectados para tratamento dos dados.

- **Setup_Servos:** Define as portas P2.1 e P2.4 como saídas do Timer1, onde OUT1 e OUT2, que são saídas do canal de comparação do Timer1, estarão definidas nestes dois pinos. Este dois pinos que são utilizados para o controle de posição dos servomotores.

- **Setup_LED:** Função de teste utilizada para verificar o funcionamento do código. Esta serve para setar os LEDS da Launchpad para verificar o pleno funcionamento do código.

- **Read_ADC:** Função que lê os valores convertidos em cada canal do conversor A/D ADC10 e armazena os valores na memória, onde estes valores estarão disponíveis no vetor de inteiros `adc[]`, sendo que

- `adc[0]` - Corresponde ao Sensor R0
- `adc[1]` - Corresponde ao Sensor R1
- `adc[2]` - Corresponde ao Sensor L1
- `adc[3]` - Corresponde ao Sensor L2

A figura 10 mostra como são definidos esses sensores e como é o giro de cada servomotor.



Figura 10 - Ilustração de programação dos giros do servomotor e a ordem dos sensores

É nesta função ainda que podemos ver a seguinte linha de comando:

```
__bis_SR_register(CPUOFF + GIE);
```

Este comando habilita a interrupção da MSP e desliga o clock principal, reduzindo bastante o consumo de energia. Quando o conversor terminar de realizar a conversão com o clock secundário, ele habilita a interrupção do conversor, que pode ser visto na função de interrupção

```
// ADC10 interrupt service routine
#pragma vector=ADC10_VECTOR
__interrupt void ADC10_ISR(void)
{
    __bic_SR_register_on_exit(CPUOFF);    // Clear CPUOFF bit from 0(SR)
}
```

Que aciona o clock novamente para o prosseguimento do código.

- **Read_LDRS:** Esta função trabalha com os valores lidos nos sensores L0, L1, R0 e R1 e age atuando sobre os servomotores para que estes se movam ou não conforme um feedback anterior. Este feedback anterior é a variável média, que recebe os valores das médias dos sensores que têm valores próximos na última vez que a função foi chamada.

Quando existe maior incidência de luz sobre um sensor (ou sensores), estes ficam com a tensão mais baixa do que os outros, e dessa forma é possível identificar qual é a angulação de incidência de luz. Por exemplo, se nos sensores L0 e R0 houve maior incidência de luz, eles terão um valor de tensão lido pelo conversor menor do que a média geral de tensão lido em todos os sensores e dessa forma, controla-se os servomotores para que girem para baixo, ou seja, inclinem-se de forma a ficar na horizontal com o servo de elevação.

Mas se por exemplo, somente o servo R0 tiver maior incidência de luz em seu lado, deve-se girar para a direita o servomotor que controla o eixo azimutal.

Esta função portanto é a mais importante do código, pois faz o papel de ligação entre os valores lidos pelos sensores e o acionamento dos servomotores conforme estes valores.

Servos_PWM: Esta função é que trata os dados recebidos pela função Read_LDRs, aumentando ou diminuindo o PWM de cada servomotor conforme a inclinação que deve ser feita para pegar a melhor incidência de luz.

4. Parte Experimental

4.1. Materiais Utilizados

- 2 Diodo 1N4007
- 2 LM317
- 1 Resistor $10\ \Omega$ / $1\ W \pm 5\%$
- 1 Resistor $180\ \Omega$ / $[1 \div 4\ W] \pm 5\%$
- 2 Resistor $1k\ \Omega$ / $[1 \div 4\ W] \pm 5\%$
- 6 Resistor $10k \pm 5\%$
- 1 Potenciômetro $[1\ K\ \Omega] \pm 5\%$
- 1 Potenciômetro $[10\ k\ \Omega] \pm 5\%$
- 1 Transistor BC548 [NPN]
- 1 Diodo Zener 1N4736 (6,8V/1W)
- 1 Célula Painel Placa Energia Solar Fotovoltaica 12V/1.5 W
- 1 Suporte Pan-Tilt com 2 servomotores incluídos
- 1 Microcontrolador MSP430g2553
- 4 Resistores Dependentes de Luz - LDRs
- 1 Push-Button

4.2. Resultados

Na figura 4 mostra o circuito carregador de energia solar construído na protoboard a fim de testar e verificar o funcionamento do circuito. Utilizou-se multímetro digital para verificar a tensão de saída e a corrente a fim de avaliar e explorar a capacidade do circuito.

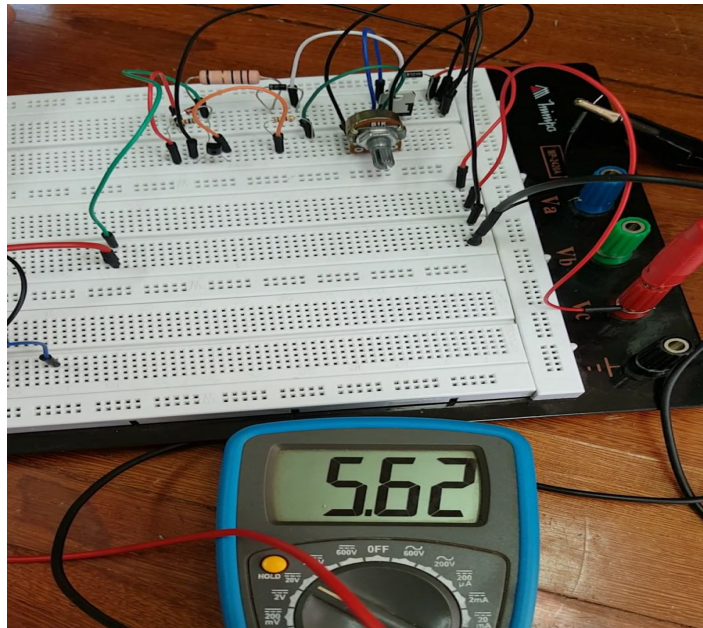


Figura 11 - Circuito montado em protoboard

A figura 12 mostra o circuito carregador de energia solar com a placa fotovoltaica e uma bateria de 3.6 volts, com o auxílio do multímetro observou-se as pequenas variações de tensão e corrente, que não afetaram a carga da bateria. Além disso, pode-se verificar que a tensão que a placa fotovoltaica forneceu ao circuito foi maior que a especificação (12 Volts).

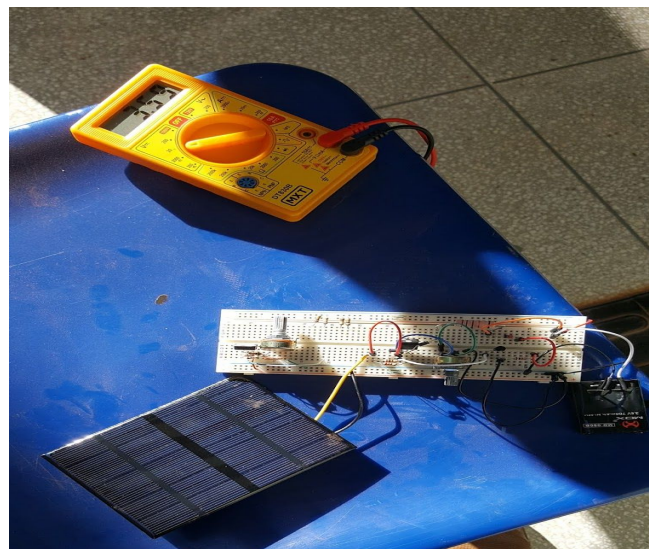


Figura 12 - Circuito montado em protoboard com a Placa solar e a Bateria de 3.6 V

Na figura 13 mostra o circuito carregador de energia solar implementado em uma placa de circuito, onde posicionou-se cada componente eletrônico e soldou-se cada nó do circuito.

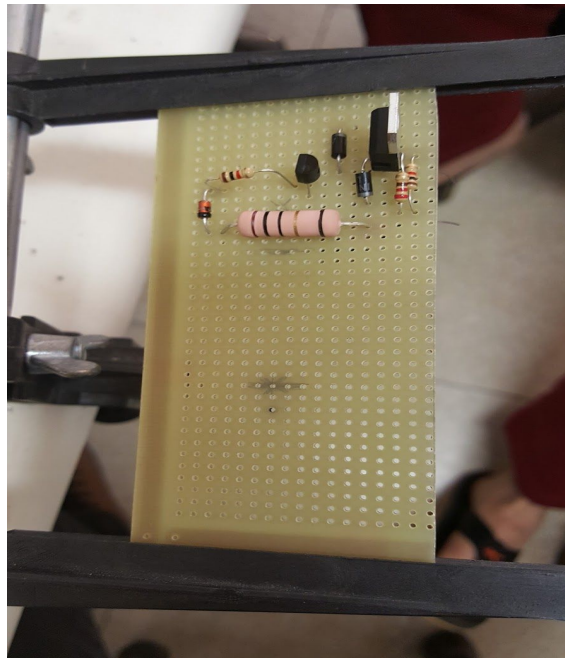


Figura 13 - Circuito sendo soldado

O circuito montado completamente, com os componentes do carregador solar e do regulador para o microcontrolador pode ser visualizado na Figura 14.

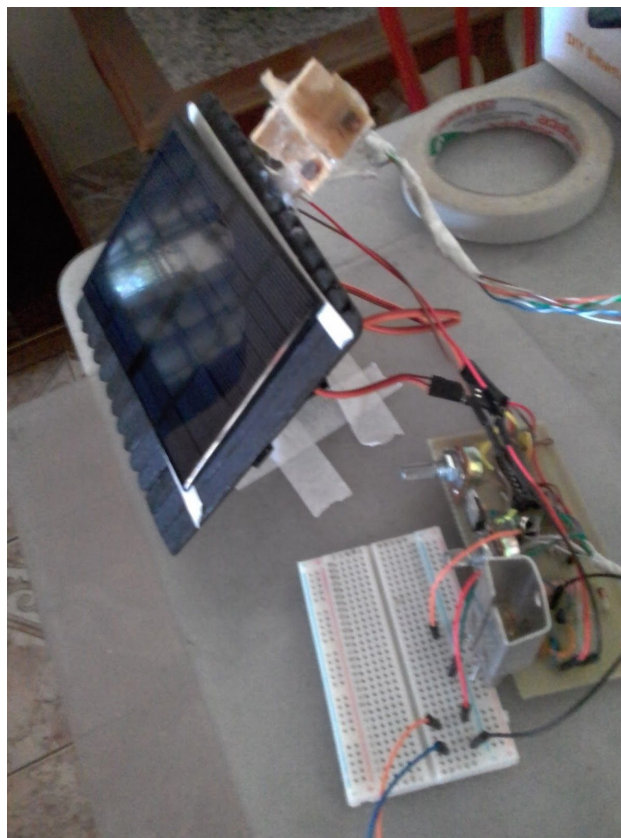


Figura 14 - Circuito completo montado e soldado na placa

4.2.1. Teste em um celular

Utilizamos o carregador de baterias e ligamos este a um celular do modelo Samsung Galaxy Pocket. A tensão de saída da placa solar regulada que já começou a carregar a bateria do celular foi de 4.42 V, mostrando a eficiência do projeto.



Figura 15 - Teste do Carregador de Baterias em um celular - Tensão de Saída

A figura 16 mostra o circuito do carregador de baterias carregando um celular do modelo Samsung Galaxy J1.



Figura 16 - Circuito Carregador de Baterias carregando um celular na luz do dia

Um vídeo completo mostrando os resultados pode ser consultado na referência [8].

5. Discussão

5.1. Pontos positivos

- Fornece energia;
- Tem a função de carregar diversos dispositivos;
- O Circuito tem um custo baixo;
- Produto para concorrer no mercado;
- Sustentável;
- O Brasil possui uma das melhores condições para gerar este tipo de energia.

5.2. Pontos negativos

- A Placa fotovoltaica tem um custo elevado;
- O tempo para carregar uma bateria ainda é demorado.

5.3. Custo do projeto

Componentes do Circuito do Carregador Solar

| Componente | Preço | Quantidade | Total | Link |
|------------------------------------|----------|------------|----------|---|
| Diodo 1N4007 | R\$ 0,07 | 2x | R\$ 0,14 | https://goo.gl/BLbQIE |
| LM317 | R\$ 1,06 | 2x | R\$ 2,12 | https://goo.gl/Fqmmnc |
| Resistor 10R 5W | R\$ 0,52 | 1x | R\$ 0,52 | https://goo.gl/iFsWM8 |
| Transistor BC548 NPN | R\$ 0,16 | 1x | R\$ 0,16 | https://goo.gl/IA3fnh |
| Diodo Zener 1N4736 (6,8V/1W) | R\$ 0,19 | 1x | R\$ 0,19 | https://goo.gl/MA6u7n |
| Potenciômetro de 1K | R\$ 1,10 | 1x | R\$ 1,10 | https://goo.gl/4gED7a |
| Potenciômetro de 10K | R\$ 1,10 | 1x | R\$ 1,10 | https://goo.gl/T5w3uY |
| Resistor de 1K | R\$ 0,04 | 2x | R\$ 0,08 | https://goo.gl/E |

| | | | | |
|-----------------|----------|----|----------|---|
| | | | | Hf4XE |
| Resistor de 10K | R\$ 0,04 | 2x | R\$ 0,08 | https://goo.gl/y5JXLE |
| TOTAL | | | R\$ 4,97 | |

Componentes da Base do Carregador Solar

| Componente | Preço | Quantidade | Total | Link |
|---|-----------|------------|-----------|---|
| Suporte Pan-Tilt com 2 servomotores incluídos | R\$ 58,90 | 1x | R\$ 58,90 | https://goo.gl/X0euEB |
| TOTAL | | | R\$ 58,90 | |

Comparação do Circuito construído x Circuito de Mercado

| Produto | Preço | Link |
|--|------------|---|
| Carregador Original 20000mah Pineng Pn-969 Bateria Externa | R\$ 110,00 | https://goo.gl/c9nmrn |
| Carregador Solar Portátil | R\$ 60,97 | https://goo.gl/1Uscrt |

5.2. Observações

Nos primeiros testes verificou-se um superaquecimento do potenciômetro, mas que foi corrigido quando ajustamos a faixa de operação do mesmo, logo, houve uma corrente regular que passava pelo potenciômetro. Nos dias em diante não houve problema, teve-se alguns testes para avaliar o comportamento do circuito e depois de avaliado, concluiu-se o projeto, soldando cada componente do circuito em uma placa.

6. Conclusão

O funcionamento do circuito carregador de energia solar requer a incidência da radiação solar para excitar as células solares constituídas de materiais semicondutores, isso

gera uma diferença de potencial ocasionando a passagem de lacunas e elétrons. Após essa fase primordial, alimentará o circuito carregador de bateria solar. O circuito foi dividido em 4 estágios, o primeiro é **ajuste de tensão e corrente** que é executado pelo LM317, potenciômetro e o resistor de 180Ω , o segundo é a **restrição do carregamento** que é executada pelo resistor de 10Ω para não mandar uma corrente muito alta para a carga, o terceiro estágio é a **interrupção do corte do carregamento** que é executada pelo transistor BC548 NPN e o quarto estágio é **impedimento da descarga da bateria após a mesma está carregada** que é executada pelos diodos, onde o diodo 1N4007 tem a função de não deixar carga da bateria para o circuito.

7. Referências Bibliográficas

[1] Circuito de Carregador Solar de Baterias

Fonte: <http://blog.novaeletronica.com.br/circuito-de-carregador-solar-de-baterias/>

[2] Solar Charger for 6V Battery,

Fonte: <http://www.electroschematics.com/4746/solar-charger-circuit/>

[3] MERCADO DE ENERGIA SOLAR NO BRASIL,

Fonte: <http://www.portalsolar.com.br/mercado-de-energia-solar-no-brasil.html>

[4] Camera Based Solar Tracking System

Fonte: https://www.youtube.com/watch?v=ZS_8bXmswb4&t=148

[5] Dual Axis "Smart" Solar Tracker

Fonte: <https://browndoggadgets.com/products/dual-axis-smart-solar-tracker>

[6] Datasheet: LM317 3-Terminal Adjustable Regulator, Texas Instruments

Fonte: <http://www.ti.com/lit/ds/symlink/lm317.pdf>

[7] Datasheet: Mixed Signal Microcontroller - MSP430, Texas Instruments

Fonte: <http://www.ti.com/lit/ds/symlink/msp430g2253.pdf>

[8] Vídeo do carregado realizado pela dupla funcionando 100%:

Fonte: https://www.youtube.com/watch?v=kGw1LaIk0_M

[9] Datasheet do Servomotor SG90

Fonte: <http://www.micropik.com/PDF/SG90Servo.pdf>

[10] Davies, John H. MSP430 Microcontroller Basics. 2008. 30 Corporate Drive, Suite 400, Burlington, MA01803, USA. Elsevier Ltd.

8. Anexos

A. Códigos

```
#include <msp430g2553.h>
#define SERVO1 BIT1 //P2.1 as TA1.1
#define SERVO2 BIT4 //P2.4 as TA1.2
#define LED BIT6
#define ADC_CHANNELS 4
#define PARAMETRO_MEDIA 10
#define GIRO_DIREITO 100
#define GIRO_ESQUERDO -100
#define GIRO_CIMA 100
#define GIRO_BAIXO -100
#define ATRASO_GIRO 25
#define L0 adc[3]
#define L1 adc[2]
#define R1 adc[1]
#define R0 adc[0]
unsigned int adc[ADC_CHANNELS];
volatile unsigned int media=0;
unsigned int comparacao;
unsigned int init=0;
unsigned int new_config=0;
unsigned int P_TA1CCR1=0;
unsigned int P_TA1CCR2=0;

void Atraso(volatile unsigned int x)
{
    TA0CCR0 = 1000-1;
    TA0CTL |= TACLR; //clear timer
    TA0CTL = TASSEL_2 + ID_0 + MC_1;
    while(x>0)
    {
        x--;
        while((TA0CTL&TAIFG)==0);
        TA0CTL &= ~TAIFG;
    }
    TA0CTL = MC_0; //stop timer
}

void Setup_LED()
{
    P1OUT &= ~BIT6; //Inicializar LED desligado
```

```

    P1DIR |= BIT6;
}

void Acender_LED(char string[])
{
    if(string == "ON")
    {
        P1OUT |= LED;
    }
    else if(string == "OFF")
    {
        P1OUT &= ~LED;
    }
    else if (string == "PISCAR")
    {
        P1OUT ^= LED;
        Atraso(500);
    }
}

void Setup_Servos(void)
{
    P2DIR |= SERVO1+SERVO2;
    P2SEL |= SERVO1+SERVO2;
    P2SEL2 &= ~(SERVO1+SERVO2);
}

void Servos_PWM(int azimuth, int elevation)
{
    if(init==0)
    {
        TA1CTL |= TACLR;
        TA1CCR0 = 20000;
        TA1CCR1 = 1600;
        TA1CCR2 = 1300;
        TA1CCTL1 = OUTMOD_7;
        TA1CCTL2 = OUTMOD_7;
        TA1CTL = TASSEL_2 + ID_0 + MC_1;
        init++;
        P_TA1CCR1 = TA1CCR1;
        P_TA1CCR2 = TA1CCR2;
    }
    //criterio para eixo polar
    if((TA1CCR1 > 600) && (TA1CCR1 < 2600))
    {
        P_TA1CCR1 = TA1CCR1+azimuth;
    }
}

```

```

    new_config=1;
}
else if((TA1CCR1==600) && (azimute > 0))
{
    P_TA1CCR1 = TA1CCR1+azimute;
    new_config=1;
}
else if((TA1CCR1==2600) && (azimute < 0))
{
    P_TA1CCR1 = TA1CCR1+azimute;
    new_config=1;
}
//criterio para elevacao
if((TA1CCR2>600)&&(TA1CCR2<1300))
{
    P_TA1CCR2 = TA1CCR2+elevation;
    new_config=1;
}
else if((TA1CCR2==600) && (elevation > 0))
{
    P_TA1CCR2 = TA1CCR2+elevation;
    new_config=1;
}
else if((TA1CCR2==1300) && (elevation < 0))
{
    P_TA1CCR2 = TA1CCR2+elevation;
    new_config=1;
}
//criterio para nova configuracao
if(new_config==1)
{
    TA1CTL |= TACLR;
    TA1CCR0 = 20000;
    TA1CCR1 = P_TA1CCR1;
    TA1CCR2 = P_TA1CCR2;
    TA1CCTL1 = OUTMOD_7;
    TA1CCTL2 = OUTMOD_7;
    TA1CTL = TASSEL_2 + ID_0 + MC_1;
    new_config=0;
}
}

void Setup_ADC(void)
{
    ADC10CTL0 |= SREF_0 + ADC10SHT_0 + MSC + ADC10ON + ADC10IE; //Reference
from

```

```

//Vcc and Vss, sampling time of 16×ADC10CLKs, ADC10ON
ADC10CTL1 |= INCH_3 + CONSEQ_1 + ADC10SSEL_3 + SHS_0; //Input channel A3, A2,
A1 and A0; repeated sequence
ADC10AE0 |= (BIT0+BIT1+BIT2+BIT3); // Analog Input in P1.0, P1.1, P1.2 and P1.3;
ADC10DTC1 = ADC_CHANNELS; // 4 conversions
ADC10CTL0 |= ENC + ADC10SC; // Sampling and conversion start
}

```

```

void Read_LDRS()
{
//L0 - adc[3] - Sensor da Esquerda 0
//L1 - adc[2] - Sensor da Esquerda 1
//R0 - adc[0] - Sensor da Direita 0
//R1 - adc[1] - Sensor da Direita 1
if(media!=0)
{
comparacao = media - PARAMETRO_MEDIA;
if((L0 < comparacao) && (R0 < comparacao))
{
//os dois sensores de cima detectaram maior intensidade de luz
//girar para cima
Servos_PWM(0,GIRO_BAIXO);
media=(R0+L1)/2;
}
else if ((L1 < comparacao) && (R1 < comparacao))
{
//os dois sensores de baixo detectaram maior intensidade de luz
//girar para baixo
Servos_PWM(0,GIRO_CIMA);
media = (R1 + L0)/2;
}
else if (L0 < comparacao)
{
//sensor da esquerda 0 detectou maior intensidade de luz
//girar para a esquerda
Servos_PWM(GIRO_ESQUERDO,0);
media = (R0+R1+L1)/3;
Atraso(ATRASO_GIRO);
}
else if (L1 < comparacao)
{
//sensor da esquerda 1 detectou maior intensidade de luz
//girar para a esquerda
//Rotate_Servos(3);
Servos_PWM(GIRO_ESQUERDO,0);
media = (L0+R0+R1)/3;
}
}
}

```

```

    Atraso(ATRASO_GIRO);
}

else if (R1 < comparacao)
{
    //sensor da direita 0 detectou maior intensidade de luz
    //girar para a direita
    //Rotate_Servos(4);
    Servos_PWM(GIRO_DIREITO,0);
    media = (L0+L1+R0)/3;
    Atraso(ATRASO_GIRO);
}
else if (R0 < comparacao)
{
    //sensor da direita 1 detectou maior intensidade de luz
    //girar para a direita
    //Rotate_Servos(4);
    Servos_PWM(GIRO_DIREITO,0);
    media = (L0+L1+R1)/3;
    Atraso(ATRASO_GIRO);
}
else
{
    media = (adc[0] + adc[1] + adc[2] + adc[3])/4;
}
}
else
{
    media = (adc[0] + adc[1] + adc[2] + adc[3])/4;
}
}

void Read_ADC(void)
{
    ADC10CTL0 &= ~ENC;
    while (ADC10CTL1 & BUSY); // Wait if ADC10 core is active
    ADC10SA = (unsigned int)adc; // Copies data in ADC10SA to unsigned int adc array
    ADC10CTL0 |= ENC + ADC10SC;
    __bis_SR_register(CPUOFF + GIE);
    Read_LDRS();
}

int main( void )
{
    // Stop watchdog timer to prevent time out reset
    WDTCTL = WDTPW + WDTHOLD;

```

```

BCSCTL1 = CALBC1_1MHZ;
DCOCTL = CALDCO_1MHZ;
Setup_ADC();
Setup_Servos();
Servos_PWM(0,0);
Atraso(1000);
Setup_LED();
for(;;)
{
    Read_ADC();
}

return 0;
}

// ADC10 interrupt service routine
#pragma vector=ADC10_VECTOR
__interrupt void ADC10_ISR(void)
{
    __bic_SR_register_on_exit(CPUOFF);    // Clear CPUOFF bit from 0(SR)
}

```